

# ارزیابی خواص مکانیکی جوش های غیر مشابه فولاد زنگ نزن سوپر دوفازی UNS ۳۲۷۵۰ به فولاد زنگ نزن آستینیتی AISI ۳۰۴L

مهرداد رحمانی<sup>\*</sup>، مرتضی شمعانیان<sup>۱</sup> و مسعود کثیری<sup>۲</sup>

<sup>۱</sup> دانشجوی کارشناسی ارشد جوشکاری، دانشگاه آزاد اسلامی، واحد نجف آباد، اصفهان، ایران

<sup>۲</sup> دانشیار، دانشکده مهندسی مواد دانشگاه صنعتی اصفهان، اصفهان، ایران

<sup>۳</sup> استادیار، دانشکده مهندسی مواد دانشگاه آزاد اسلامی واحد نجف آباد، اصفهان، ایران

\* Rahmani\_mhd@yahoo.com

(تاریخ دریافت: ۱۳۹۱/۰۶/۰۷، تاریخ پذیرش: ۱۳۹۱/۱۰/۰۶)

## چکیده

در این تحقیق خواص مکانیکی جوش های غیر مشابه فولاد زنگ نزن سوپر دوفازی UNS ۳۲۷۵۰ به فولاد زنگ نزن آستینیتی AISI ۳۰۴L مورد بررسی قرار گرفت. بدین منظور روش جوشکاری قوسی تنگستن - گاز با دو فلز پر کننده L<sub>0</sub> ER25104L و L<sub>0</sub> ER309LM0 استفاده شد. برای بدست آوردن ساختار مطلوب و خواص مکانیکی عالی در اتصال مذکور، کنترل عملیات حرارت ورودی و عملیات حرارتی پیش گرم، از جمله پارامترهای موثر و قابل کنترل است. ریز ساختار فلزات جوش و بررسی سطوح شکست، با استفاده از میکروسکوپ نوری و میکروسکوپ الکترونی رویشی مورد ارزیابی قرار گرفت. همچنین خواص مکانیکی شامل خمش، استحکام گششی، مقاومت در برابر ضربه، سختی و نیز شکست نگاری نمونه ها بررسی شد. در آزمون کشش تمامی نمونه ها از منطقه HAZ فلز پایه فولاد زنگ نزن آستینیتی L<sub>0</sub> ۳۰۴L و به صورت نرم چار شکست شدند. بیشترین مقدار انرژی شکست مربوط به فلز جوش L<sub>0</sub> ۲۵۱۰۴L بود، نمونه جوش شده با فلز پر کننده L<sub>0</sub> ۲۵۱۰۴L بیشترین انعطاف پذیری را از خود نشان داد. بیشترین و کمترین مقادیر سختی به ترتیب مربوط به فلز جوش L<sub>0</sub> ۲۵۱۰۴L و فولاد زنگ نزن آستینیتی L<sub>0</sub> ۳۰۹LM0 بود. در نهایت، می توان نتیجه گرفت که برای اتصال غیر مشابه فولاد زنگ نزن سوپر دوفازی UNS ۳۲۷۵۰ به فولاد زنگ نزن آستینیتی L<sub>0</sub> ۳۰۴L، ماده پر کننده L<sub>0</sub> ۲۵۱۰۴L و بیشتری های بهینه ای را ارائه می دهد.

## واژه های کلیدی:

جوش های غیر مشابه، فولاد زنگ نزن سوپر دوفازی، فولاد زنگ نزن آستینیتی، خواص مکانیکی

## ۱- مقدمه

بسیار عالی در محیط های بسیار خورنده است [۱-۲]. حضور مقادیر زیاد کروم و نیکل باعث افزایش مقاومت آلیاژ در بسیاری از محیط های خورنده شده است. وجود نیتروژن باعث بهبود استحکام و مقاومت به خوردگی حفره ای شده، به طوری که این آلیاژ را در زمرة ای بهترین آلیاژ های مقاوم به خوردگی قرار داده

فولاد زنگ نزن سوپر دوفازی UNS ۳۲۷۵۰ (SAF ۲۵۰۷) یکی از اعضای معروف فولادهای زنگ نزن دوفازی است. این فولاد با دارا بودن حدود ۲۵ درصد کروم، ۷ درصد نیکل، ۴ درصد مولیبدن و ۰/۳۲ درصد نیتروژن دارای مقاومت به حفره دار شدن معادل<sup>۱</sup> (PRE<sub>N</sub>) بالاتر از ۴۰ بوده و دارای مقاومت به خوردگی

پرکننده و شرایط جوشکاری باید به گونه ای باشد که فلز جوش ایجاد شده بتواند از لحاظ خواص مکانیکی با فلزات پایه برابری کند. در این پژوهش به انتخاب بهترین ماده پرکننده از دیدگاه خواص مکانیکی پرداخته شده است.

## ۲- مواد و روش تحقیق

### ۲-۱ آماده‌سازی نمونه‌ها و طرح اتصال

در این تحقیق، از فولاد زنگ نزن آستینتی L AISI ۳۰۴ (۳۰۴۰۳) (UNS S ۳۲۷۵۰) و فولاد زنگ نزن سوپر دوفازی SAF ۲۵۰۷ (۳۰۰) به عنوان فلزات پایه به صورت کار شده استفاده شد. ترکیب شیمیایی فلزات پایه و فلزات پرکننده در جدول (۱) ارائه شده است. جهت اتصال فلزات پایه از دو نوع فلز پرکننده سیم جوش ER<sup>۳۰۹</sup> LMo و سیم جوش ER<sup>۲۵۱۰۴</sup> L مطابق با استاندارد AWS A5.9 با قطر ۲/۴ میلی‌متر بهره برده شد. لوله‌هایی با اندازه قطر داخلی ۷۶/۲ میلی‌متر (۳ اینچ) و طول ۱۵۰ میلی‌متر و ضخامت ۴ میلی‌متر (۱۵/۰ اینچ) به عنوان فلزات پایه تهیه شد.

جدول (۱): ترکیب شیمیایی مواد مورد استفاده بر اساس درصد وزنی [۷].

فلزات پرکننده		فلزات پایه		عناصر
۳۰۹LMo	۲۵۱۰۴L	۳۰۴L	۳۲۷۵۰	
۰/۰۳	۰/۰۲	۰/۰۳	۰/۰۲۵	C
۲۲	۲۵	۱۹/۱	۲۵/۸۹	Cr
۱۵	۱۰	۱۰/۸	۶/۵۴	Ni
۲/۷	۴	-	۳/۷۸	Mo
۱/۶	۰/۴	۲	۱/۲	Mn
۰/۴۵	۰/۳	۰/۷۵	۱	Si
-	۰/۲۵	-	۰/۲۵	N
۰/۰۳	۰/۰۲	۰/۰۸	۰/۰۳۵	Pb
۰/۰۲	۰/۰۱۵	۰/۲۶	۰/۰۱۵	S
بقیه	بقیه	بقیه	بقیه	Fe

به منظور انجام عملیات جوشکاری لازم بود تا در ابتدا لوله‌ها را

است. علاوه بر این مولیدن باعث بهبود مقاومت به خوردگی، به ویژه خوردگی حفره ای<sup>۱</sup> و شیاری<sup>۲</sup> می‌شود. به دلیل ویژگی‌های فوق العاده ای نظری مقاومت به خوردگی عالی در برابر حفره دار شدن، خوردگی شیاری و ترک خوردن خوردگی تنشی<sup>۳</sup>، جوش پذیری و کارپذیری خوب، ضربه انبساط حرارتی پایین، که این فولاد از آن برخوردار است، در کاربردهایی همچون تجهیزات صنایع نفت و گاز، مبدل‌های حرارتی، سیستم‌های آب آتش‌شانی، صنایع شیمیایی، مخازن تحت فشار، واحدهای نمک زدایی، سیستم‌های آب دریا و تانکرهای شیمیایی بکار می‌رود<sup>[۴-۳]</sup>.

فولاد زنگ نزن آستینتی L ۳۰۴L که در استاندارد با شماره UNS S30403 معرفی می‌شود یکی از انواع فولادهای زنگ نزن سری ۳۰۰ می‌باشد. به علت وجود مقادیر کم کربن در ترکیب این فولاد نسبت به انواع دیگر آلیاژهای این سری از قابلیت جوش پذیری بهتری برخوردار بوده و به طور گسترده در صنایع نفت و گاز، پتروشیمی، صنایع غذایی، تولید لبیات، تجهیزات آشپزخانه و محصولات دارویی و کاربردهایی که حمله بین دانه‌ای و ترک خوردن خوردگی تنشی مورد توجه است، مورد استفاده قرار می‌گیرند. به طور کلی آلیاژهای آستینتی بسیار جوش پذیر در نظر گرفته می‌شوند، اما چنانچه راهکارهای مناسب در راستای جوشکاری آنها مورد توجه قرار نگیرد، دچار تعدادی از مشکلات جوش پذیری می‌شوند. ترک خوردن ذوبی<sup>۵</sup> و انجام‌دادی<sup>۶</sup> جوش ممکن است بسته به ترکیب شیمیایی فلز پایه و پرکننده و مقدار ناخالصی‌ها به ویژه گوگرد و فسفر رخ دهد<sup>[۶-۵]</sup>.

جایگزینی فولاد زنگ نزن سوپر دوفازی ۳۲۷۵۰ با فولاد زنگ نزن آستینتی L ۳۰۴L در محیط‌های بسیار خورنده حاوی غلظت‌های بالای یون کلر به منظور کاهش و یا جلوگیری از خوردگی، ضرورت اتصال بین این دو آلیاژ را با روش جوشکاری مطرح می‌سازد. تحقیقات نشان می‌دهد در زمینه اتصال بین این دو آلیاژ تحقیقات مدونی وجود ندارد. یکی از فاکتورهای مهم در این زمینه برآورده شدن احتیاجات خواص مکانیکی است. فلزات

حرارت ورودی در این رابطه I شدت جریان، V ولتاژ و S سرعت جوشکاری است. بازده قوس در این رابطه ۷/۰ در نظر گرفته شده است. جدول (۲) مشخصات جوشکاری نمونه ها را نشان می دهد.

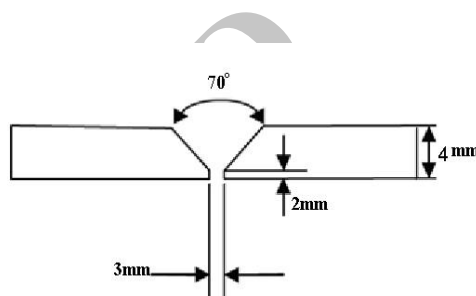
بررسی منابع و مراجع نشان می دهد حرارت ورودی نقش به سزایی در تغییرات ریز ساختاری منطقه جوش فولادهای زنگ نزن دوفازی دارد. فولادهای زنگ نزن دوفازی برحسب خصامت و هندسه اتصال باید با حرارت ورودی بین ۰/۵ تا ۲/۵ کیلوژول بر میلیمتر جوشکاری شوند. در مورد فولاد زنگ نزن سوپر دوفازی ۳۲۷۵۰ حرارت ورودی مجاز ۱/۵ کیلوژول بر میلیمتر و دمای بین پاسی کمتر از ۱۵۰ درجه سانتیگراد پیشنهاد شده است. فولاد زنگ نزن سوپر دوفازی ۳۲۷۵۰ بایستی با حرارت ورودی بین ۰/۵ تا ۱/۵ کیلوژول بر میلیمتر جوشکاری شود تا از تشکیل فازهای ثانویه اجتناب شود [۶].

جدول (۲): مشخصات جوشکاری قوسی تنگستن - گاز

حرارت ورودی (kJ/mm)	سرعت جوشکاری (mm/s)	ولتاژ (V)	جریان (A)	شماره پاس	فلز پر کننده
۰/۹۲۴	۱	۱۲	۱۱۰	۱	۲۵۱۰۴L
۰/۹۳	۰/۸۵	۱۱/۳	۱۰۰	۲	
۰/۷۱۸	۰/۷۴	۹/۵	۸۰	۳	
۰/۹۶	۰/۹۶	۱۲	۱۱۰	۱	
۰/۸۲۵	۰/۸۴	۱۱	۹۰	۲	
۰/۸۲۶	۰/۷۲	۱۰	۸۵	۳	

**۳-۲ بررسی های ریز ساختاری**  
به منظور مطالعه و بررسی ریز ساختار مناطق آلیاژهای پایه، فلز جوش، منطقه تحت تأثیر حرارت، مخلوط نشده و همچنین تحولات ریز ساختاری، از متالوگرافی استفاده شد. بدین منظور از هر اتصال دو نمونه با ابعاد مناسب تهیه شد. سطوح مورد نظر توسط سنباده های کاربید سیلیسیوم ۱۰۰ تا ۲۴۰۰ سنباده زنی شد.

از یک طرف مطابق با طرح مناسب اتصال آماده سازی نمود. بدین منظور لوله های فولاد زنگ نزن سوپر دوفازی ۳۲۷۵۰ فولاد زنگ نزن آستنیتی L ۳۰۴L برای اتصال لب به لب با شیار ۷ شکل با استفاده از دستگاه فرز ماشینکاری شدند. زاویه هر لوله در ناحیه شیار جوش ۳۵ درجه و در مجموع ۷۰ درجه در نظر گرفته شد. شماتیک طرح اتصال و مشخصات ابعادی آن در شکل (۱) نشان داده شده است.



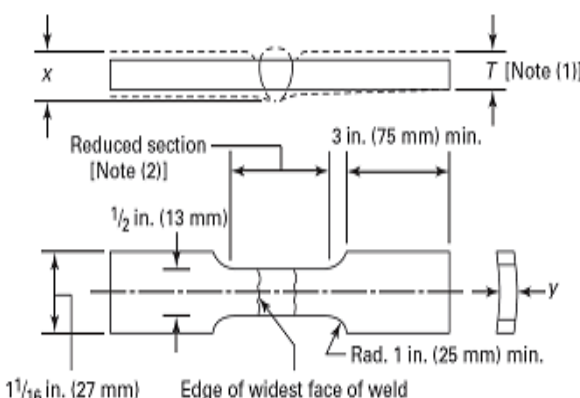
شکل (۱): طرح اتصال لوله ها.

## ۲-۲ جوشکاری نمونه ها

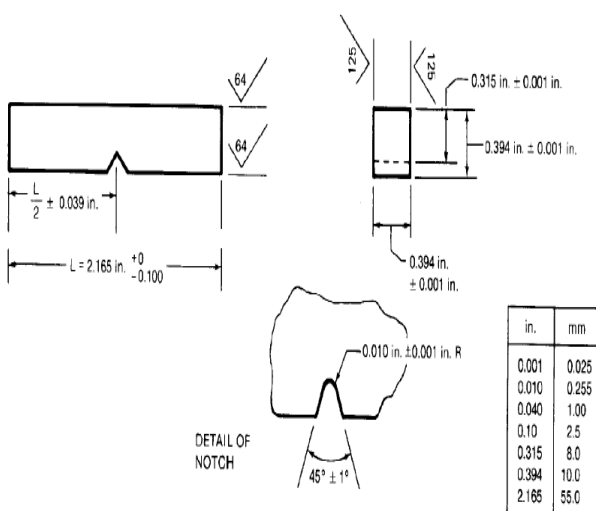
جوشکاری نمونه ها بدون پیشگرم کردن و با استفاده از فرایند جوشکاری قوسی تنگستن - گاز با جریان ثابت و با قطبیت منفی (DCEN) با استفاده از دستگاه جوش نوع گام الکتریک بر روی نمونه ها به صورت 5G (نمونه در حالت افقی) انجام شد. الکترود مصرف نشدنی مورد استفاده، الکترود تنگستنی حاوی ۲ درصد توریم به قطر ۲/۴ میلیمتر بود. گاز آرگون با خلوص ۹۹/۹۹ درصد با دبی ۱۰ لیتر بر دقیقه به عنوان گاز محافظ استفاده شد. با توجه به انساط حرارتی پایین و هدایت حرارتی بالای فولادهای زنگ نزن سوپر دوفازی نسبت به فولادهای زنگ نزن آستنیتی دمای بین پاسی ۱۵۰ درجه سانتیگراد در نظر گرفته شد، تا تنش های اعوجاج ناشی از انقباض و سرد شدن فلز جوش به حداقل مقدار ممکن برسد. در هر پاس مقادیر شدت جریان، ولتاژ و سرعت جوشکاری اندازه گیری شده و با استفاده از رابطه زیر حرارت ورودی<sup>۷</sup> محاسبه گردید [۶].

$$H.I = \frac{\eta \cdot I \cdot V}{S} \quad (1)$$

دمای اتاق انجام شد و انرژی جذب شده در حین آزمون گزارش شد. آزمون ریز سختی سنجی ویکرز بر روی نمونه‌های تهیه شده از هر اتصال صورت پذیرفت. نمونه‌ها به صورتی آماده شد که عمود بر خط مرکزی جوش بوده و شامل فلزات پایه، فلز جوش و منطقه متأثر از حرارت باشد. آزمون با استفاده از دستگاه سختی سنج مدل Buehler و با وزنه دویست گرمی انجام شد. نتایج این آزمون بصورت پروفیل سختی برای تمامی نمونه‌ها ترسیم شد و مورد ارزیابی قرار گرفت.



شکل (۲): جزئیات نمونه برای آزمون کشش طبق استاندارد ASME Sec. IX



شکل (۳): جزئیات نمونه برای آزمون ضربه

طبق استاندارد [۸] AWS B4.0

### ۳-بحث و نتایج

#### ۱-بررسی های ریزساختاری فلزات پایه و فلزات جوش

سپس نمونه‌ها با پودر آلومینیا پولیش شدند. برای اچ نمونه‌ها نیز از اچ رنگی توسط محلول براها (۸۰ میلی لیتر آب مقطر، ۳۰ میلی لیتر اسید کلریدریک،  $0.03\text{ g}\text{cm}^{-3}$   $\text{K}_2\text{S}_2\text{O}_5$ ) استفاده شد. پس از آماده سازی نمونه‌ها، ریز ساختار مناطق مختلف قطعات جوشکاری شده توسط میکروسکوپ نوری Olympus مدل CK40M در بزرگنمایی‌های مختلف مورد بررسی و تجزیه و تحلیل قرار گرفت. همچنین برای محاسبه درصد هر فاز از روش اندازه گیری درصد فاز فیت با فریتسکوپ Fischer مدل FMP30 استفاده شد.

#### ۴- ارزیابی خواص مکانیکی

به منظور ارزیابی خواص مکانیکی بر اساس استانداردهای ASME SEC.IX و ANSI-AWS B4.0 نمونه‌های آزمون کشش، خمش و ضربه از قطعات جوشکاری شده تهیه گردید [۸]. طبق این استاندارد نمونه‌هایی برای آزمون کشش تهیه شد که منطقه تحت کشش شامل فلز جوش و هر یک از فلزات پایه باشد. به این منظور فلز جوش بایستی درست در مرکز نمونه واقع شود. تعداد نمونه‌های آزمون کشش برای اتصالات با ضخامت کمتر از ۲۵ میلیمتر دو نمونه می‌باشد. بدین منظور برای هر اتصال دو نمونه در نظر گرفته شد و توسط دستگاه کشش مدل Instron کشیده شد. جزئیات نمونه برای آزمون کشش طبق استاندارد ASME SEC.IX در شکل (۲) نشان داده شده است. همچنین نمونه‌هایی از اتصال براساس استاندارد ASME SEC.IX جهت آزمون خمش ریشه و آزمون خمش رویه تهیه شد و سپس توسط دستگاه خمش Senze تحت بار قرار گرفت [۹]. به منظور مقایسه مقاومت در برابر ضربه فلزات جوش، نمونه‌های آزمون ضربه مطابق با استاندارد AWS B4.0 تهیه شد. طبق این استاندارد فلز جوش درست در مرکز نمونه واقع می‌شود. شیاری در مقطع عرضی نمونه جوش به عمق ۲ میلی متر و زاویه ۴۵ درجه طبق شکل (۳) بر روی نمونه و در فلز جوش ایجاد شد. از هر اتصال سه نمونه برای انجام این آزمون تهیه شد. سپس آزمون ضربه چارپی<sup>۸</sup> بر روی نمونه‌ها با استفاده از دستگاه Santam و در

در شکل (۶) ریزساختار فلز جوش حاصل از فلز پر کننده ۳۰۹LMo نشان داده شده است. همان طور که ملاحظه می شود ساختار آستینیتی همراه با مقداری فریت دلتا به صورت اسکلتی است.



شکل (۶): ریزساختار میکروسکوپ نوری فلز جوش ۳۰۹LMo

شکل (۷) ریزساختار فلز جوش حاصل از فلز پر کننده ۲۵۱۰۴L را می دهد. ساختار متشكل از فاز فریت (تیره)، آستینیت (روشن) و رسوب آستینیت ثانویه (ظریف روشن) است.

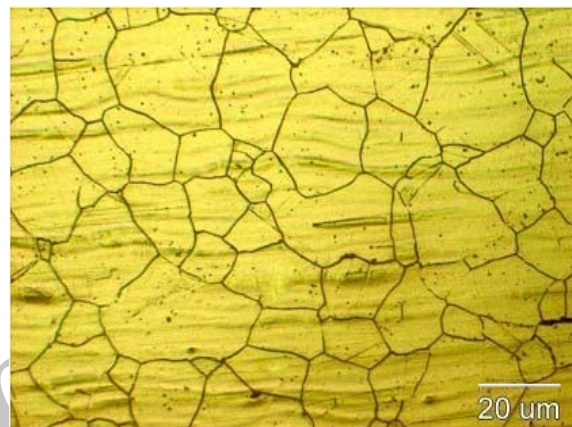


شکل (۷): ریزساختار میکروسکوپ نوری فلز جوش ۲۵۱۰۴L

### ۲-۳ نتایج حاصل از آزمون خمس

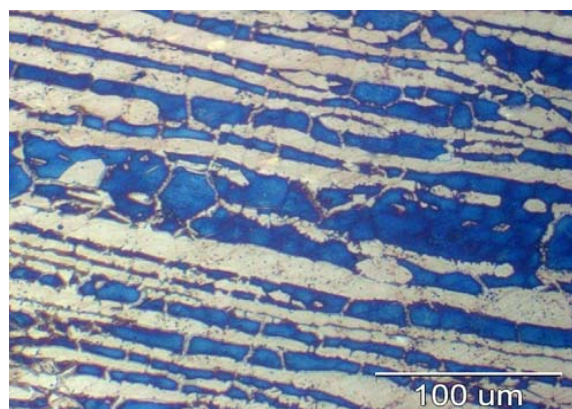
بررسی مراجع نشان داد که اگر ریزساختار بدست آمده از جوش، میزان کمی فریت در اولین پاس خود دارا باشد، ترک خوردن انجامدی جوش بسیار غیر محتمل خواهد بود و فلز جوش

شکل (۴) تصویر میکروسکوپ نوری ریزساختار فلز پایه فولاد زنگ نزن آستینیتی ۳۰۴L را نشان می دهد. این ریزساختار، شبیه به ریزساختار معمول فولادهای زنگ نزن آستینیتی است. همان طور که ملاحظه می شود ریزساختار، دانه های آستینیتی هم محور به همراه مقداری فریت دلتا<sup>۹</sup> در طول جهت نورد را نشان می دهد.



شکل (۴): ریزساختار فولاد زنگ نزن آستینیتی ۳۰۴L

در شکل (۵) تصویر میکروسکوپ نوری ریزساختار فولاد زنگ نزن سوپر دوفازی ۳۲۷۵۰ ارائه شده است. ساختار متشكل از دو فاز فریت و آستینیت به صورت لایه ای می باشد و ساختار نورده کاملاً واضح است. فاز روشن آستینیت و فاز تیره رنگ فریت می باشد، و فاز ثانویه<sup>۱۰</sup> دیگری که به طور قابل ملاحظه آشکار باشد، تشکیل نشده است.



شکل (۵): ریزساختار فولاد زنگ نزن سوپر دوفازی ۳۲۷۵۰

را به خود اختصاص داده است، و این باعث می‌شود تسلیم در حین آزمون کشش تمایل به شروع از محل نرم تر (فلز پایه ۳۰۴L) داشته باشد. درشت شدن دانه‌ها در منطقه HAZ فلز پایه می‌تواند نرخ کار سختی را کم نموده و روند افزایش استحکام در این منطقه را با مشکل مواجه کند. این روند، شکست نمونه‌ها در منطقه فلز پایه ۳۰۴L را توجیه می‌کند [۱۱]. شکل (۹) درشت شدن دانه‌ها در فصل مشترک بین فلز پایه آستینیتی ۳۰۴L و فلز جوش با استفاده از فلز پرکننده ۳۰۹LMo و شکل (۱۰) درشت شدن دانه‌ها در فصل مشترک بین فلز پایه آستینیتی ۳۰۴L و فلز جوش با استفاده از فلز پرکننده ۲۵۱۰۴L را نشان می‌دهد. بررسی آزمون کشش نمونه‌های جوشکاری شده نشان داد که فلز جوش موجود در قسمت میانی نمونه، طی آزمون کشش دچار از دیاب طول شده است. با توجه به آنکه نمونه‌ها از سلامت کاملی قبل از جوشکاری برخوردار بوده اند و بیشینه تنش اعمالی در قسمت میانی اعمال می‌شود، لذا از دیاب طول فلز جوش رخ داده است. همچنین با توجه به استحکام کشش بالاتر فلز جوش خالص ۲۵۱۰۴L و ۳۰۹LMo در مقایسه با فلزات پایه، نمونه‌های جوشکاری شده استحکام کشش بالاتری را نشان می‌دهند و پس از آنکه میزان تنش اعمالی به حد بالاتری در مقایسه با استحکام کشش فلز پایه ۳۰۴L رسید، منطقه مجاور جوش در سمت این فلز پایه تسلیم شده و شکست در آن رخ می‌دهد. بنابراین میزان استحکام کشش نمونه‌های جوشکاری شده در مقایسه با فلز پایه ۳۰۴L بالاتر است.

جدول (۴): نتایج حاصل از آزمون کشش

درصد افزایش	استحکام کشش	استحکام تسلیم	نوع
۱۷	$914 \pm 10$	$758 \pm 10$	فلز جوش ۲۸۱۰۴L
۱۸	$883 \pm 10$	$750 \pm 10$	فلز جوش
۱۵	۷۸۰	۵۵۰	فلز پایه ۳۲۷۵۰
۴۰	۵۵۰	۱۹۰	فلز پایه ۳۰۴L

به طور قابل ملاحظه‌ای انعطاف پذیر خواهد شد [۱۰]. نتایج حاصل از آزمون خمش در جدول (۳) آورده شده است، در نهایت هیچ گونه ترک غیر قابل قبولی در سطح نمونه‌ها مشاهده نگردید.

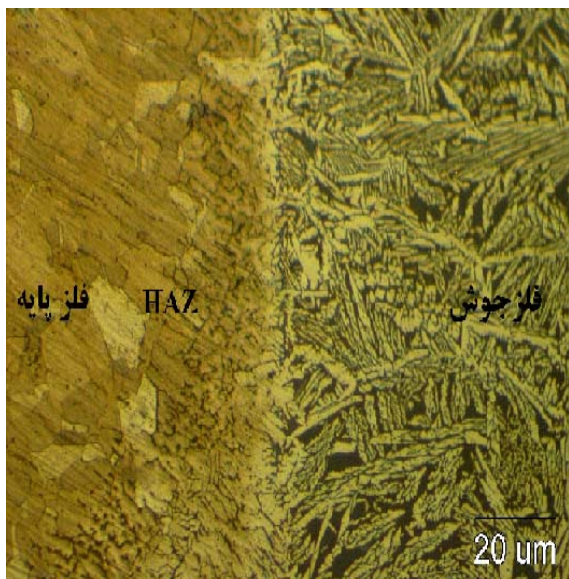
جدول (۳): نتایج حاصل از آزمون خمش فلزات جوش

زاویه سببه	جهت خمش	نتیجه	
قبول	ریشه	۱۸۰°	نمونه با فلز پرکننده ER309LMo
	رویه	۱۸۰°	
قبول	ریشه	۱۸۰°	نمونه با فلز پرکننده ER25104L
	رویه	۱۸۰°	

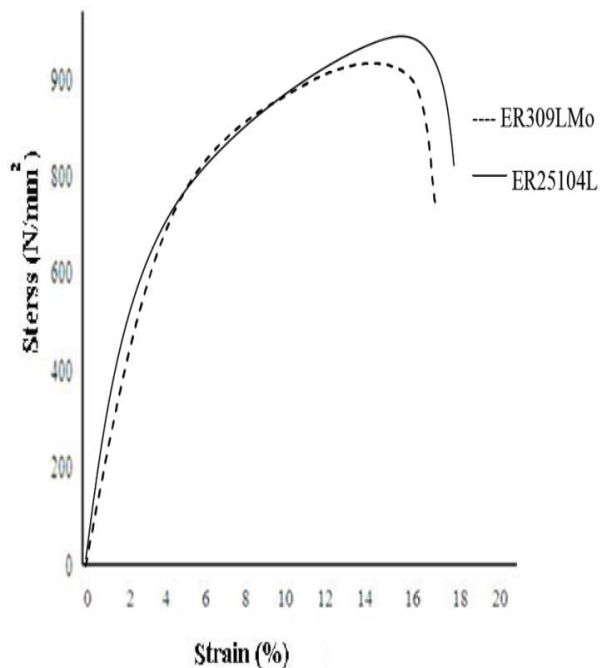
### ۳-۳ نتایج حاصل از آزمون کشش

نمودار تنش - کرنش مربوط به اتصالات غیر مشابه جوشکاری شده با فلزات پرکننده ۳۰۹LMo و ۲۵۱۰۴L در شکل (۸) به عنوان نتایج آزمون کشش آورده شده است. اولین نتیجه بدست آمده از آزمون کشش آن است که تمامی نمونه‌های جوش شده با استفاده از فلز پرکننده ۲۵۱۰۴L و ۳۰۹LMo از منطقه ضعیف‌تر اتصال یعنی در فلز پایه ۳۰۴L دچار شکست شدند. این بدان معنی است که به احتمال فراوان ضعیف‌ترین قسمت اتصالات فلز پایه ۳۰۴L می‌باشد. به طور کلی محل شکست در نمونه‌های جوشکاری شده به استحکام نسبی اجزای مختلف نمونه در اتصال بستگی خواهد داشت. جدول (۴) نتایج آزمون کشش برای فلزات پایه و جوش را نشان می‌دهد.

بررسی‌ها نشان می‌دهد، که فولادهای زنگ نزن آستینیتی "معمولان" در شرایط کارسرد، نورد گرم و آنیل شده جوشکاری می‌شوند. بنابراین مقداری نرم شدگی در منطقه تحت تاثیر حرارت<sup>۱۱</sup> رخ می‌دهد که به رشد دانه در مواد نورد گرم شده و یا تبلور مجدد و رشد دانه در مواد کارسرد شده مربوط است. در نتیجه وقتی که آزمون کشش عرضی نمونه‌های جوش انجام می‌شود، شکست اغلب در منطقه متاثر از حرارت در مقایسه با فلز جوش اتفاق می‌افتد [۶]. از سوی دیگر مطالعه منابع موجود نشان می‌دهد که فلز پایه آستینیتی ۳۰۴L درصد بالایی از افزایش طول



شکل (۱۰): فصل مشترک بین فلز پایه آستنیتی L ۳۰۴L و فلز جوش با استفاده از فلز پر کننده ۲۵۱۰۴L



شکل (۸): نمودار تنش بر حسب کرنش مربوط به اتصالات

**۴-۳ نتایج حاصل از آزمون ضربه**  
نتایج آزمون ضربه چارپی برای فلزات جوش مورد بحث در این تحقیق، در دمای اتاق در جدول (۵) ارائه شده است. مقادیر انرژی شکست برای فلزات جوش مطابق جدول (۵) نشان می دهد که در بین فلزات جوش، فلز پر کننده ۲۵۱۰۴L، دارای بیشترین انرژی شکست ضربه بوده است.

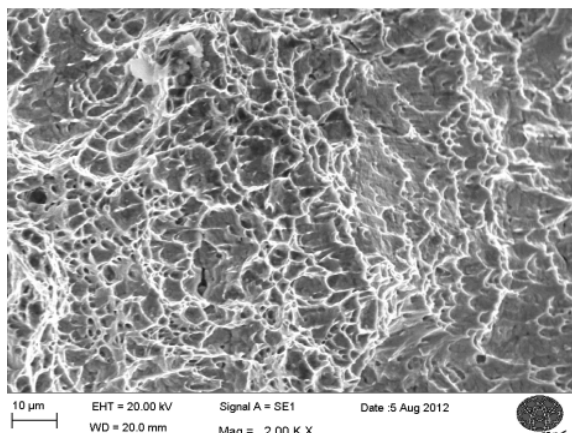
جدول (۵): میانگین نتایج حاصل از آزمون ضربه برای فلزات جوش.

نوع شکست	انرژی	نوع فلز جوش	ضریب (رول)
نرم	۱۷۰ ± ۱۰	۲۵۱۰۴L	+۲۷ °C
نرم	۹۰ ± ۱۰	۳۰۹LMo	

تصاویر میکروسکوپ الکترونی مربوط به سطوح شکست فلزات جوش ER25104L و ER309LMo ، به ترتیب در شکل های (۱۱) و (۱۲) ارائه شده است. تصاویر سطوح شکست مربوط به فلزات جوش ER25104L و ER309LMo، مشخصه های یک شکست



شکل (۹): فصل مشترک بین فلز پایه آستنیتی L ۳۰۴L و فلز جوش با استفاده از فلز پر کننده ۳۰۹LMo



شکل (۱۲): شکست نگاری فلز جوش ۳۰۹LMo با بزرگنمایی ۲۰۰۰ برابر

از سمت فلز پایه ۳۰۴L به سمت فلز پایه ۳۲۷۵۰ برقرار است. بررسی ها نشان داده است که ساختارهای دوفازی سختی بالاتری نسبت به ساختارهای آستینیتی دارند [۶]، از سوی دیگر، در آن طرف اتصال با گذر از فلز پایه سوپر دوفازی ۳۲۷۵۰ و در منطقه تحت تأثیر حرارت یک افزایش موضعی سختی مشاهده می شود، که علت این افزایش سختی در مقایسه با مناطق مجاور خود، مقدار فریت بیشتر در این منطقه می باشد که همین امر موجب سختی بالاتر آن می شود.

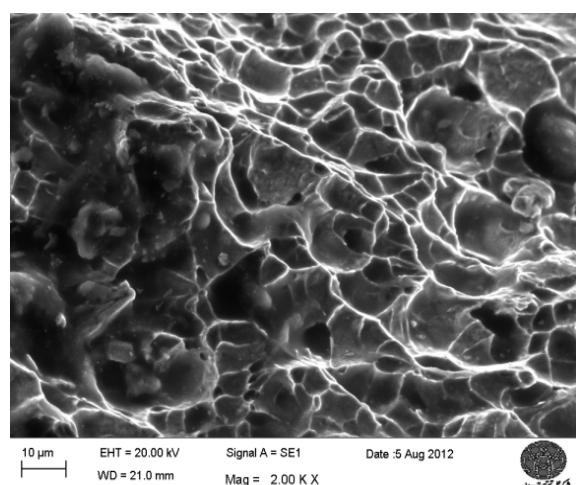
همان طور که در شکل (۱۳) مشخص است میانگین سختی فلز جوش در حدفاصل خط مرکزی جوش تا فلز پایه ۳۰۴L پایین تر از میانگین سختی در حدفاصل خط مرکزی تا فلز پایه ۳۲۷۵۰ است. علت این امر ممکن است متفاوت بودن ساختار فلز جوش با توجه به متفاوت بودن فلزات پایه در دو سمت منطقه جوش باشد. بررسی ها نشان داد که در نمونه جوش ۲۵۱۰۴L میانگین درصد فریت فلز جوش در حدفاصل خط مرکزی جوش تا فلز پایه ۳۰۴L کمتر از درصد فریت فلز جوش در حد فاصل خط مرکزی جوش تا فلز پایه ۳۲۷۵۰ است.

با توجه به آن که هدایت حرارتی فلز پایه دوفازی بیشتر از فلز پایه آستینیتی است [۱۲]، انتقال حرارت از سمت فلز پایه ۳۲۷۵۰ بیشتر است. بنابراین می توان گفت نرخ سرد شدن منطقه جوش در نواحی نزدیک به فلز پایه ۳۲۷۵۰ بیشتر از نواحی مجاور فلز پایه ۳۰۴L است. نرخ سرد شدن بیشتر موجب می شود استحاله

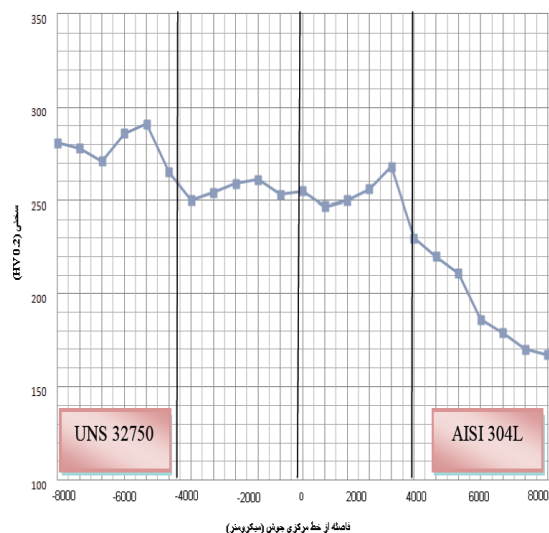
نرم را ارائه می کند. در تصویر سطح شکست فلز جوش ۲۵۱۰۴L حفرات و دیمپل ها<sup>۱۲</sup> در ساختار به چشم می خورند. حضور دیمپل های درشت در سطح شکست، نشان دهنده شکست کاملا نرم این فاز است. تنها تفاوت نمونه ها در آزمون ضربه، اختلاف در میزان انرژی شکست آنها می باشد، همانطور که نشان داده شد، انرژی شکست فلز جوش ۲۵۱۰۴L (ER ۲۵۱۰۴L) بیشتر از فلز جوش ۳۰۹LMo (ER ۳۰۹LMo) بود.

### ۵-۳ نتایج حاصل از سختی سنجی

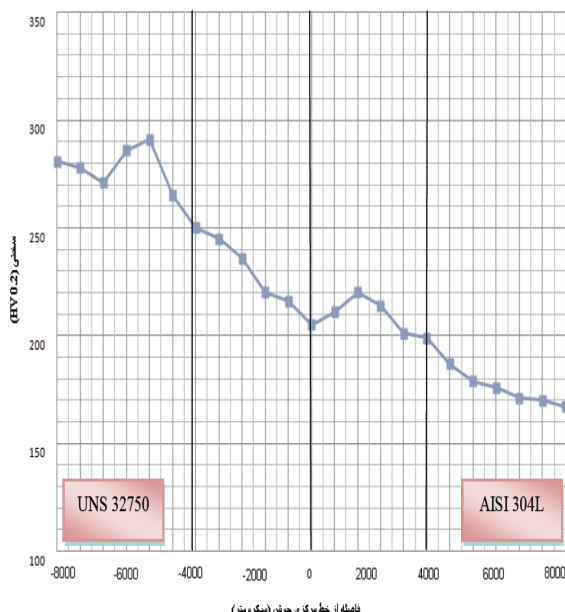
پروفیل سختی معیار مناسبی از دیزاساختار تشکیل شده در مناطق مختلف محل اتصال است. شکل (۱۳) پروفیل سختی مقطع جوش مربوط به نمونه جوش شده با فلز پر کننده ۲۵۱۰۴L و شکل (۱۴) سختی مقطع جوش با استفاده از فلز پر کننده ۳۰۹LMo را نشان می دهد. به طور کلی یک روند صعودی از سمت فلز پایه ۳۰۴L به سمت فلز پایه ۳۲۷۵۰ برقرار است. بررسی ها نشان داده است که ساختارهای دوفازی سختی بالاتری نسبت به ساختارهای آستینیتی دارند [۶]، از سوی دیگر، در آن طرف اتصال با گذر از فلز پایه سوپر دوفازی ۳۲۷۵۰ و در منطقه تحت تأثیر حرارت یک افزایش موضعی سختی مشاهده می شود، که علت این افزایش سختی در مقایسه با مناطق مجاور خود، مقدار فریت بیشتر در این منطقه می باشد که همین امر موجب سختی بالاتر آن می شود



شکل (۱۱): شکست نگاری فلز جوش ۲۵۱۰۴L با بزرگنمایی ۲۰۰۰ برابر



شکل(۱۳): پروفیل سختی مقطع جوش غیر مشابه فولاد زنگ نزن آستینیتی ۳۰۴L به فولاد زنگ نزن سوپر دوفازی ۳۲۷۵۰ با استفاده از فلز پر کننده ۲۵۱۰۴L



شکل(۱۴): پروفیل سختی مقطع جوش غیر مشابه فولاد زنگ نزن آستینیتی ۳۰۴L به فولاد زنگ نزن سوپر دوفازی ۳۲۷۵۰ با استفاده از فلز پر کننده ۳۰۹LMo

فریت به آستینیت کمتر انجام شده و درصد فریت فلز جوش نزدیک به فلز پایه ۳۲۷۵۰ بیشتر باشد. درصد فریت بیشتر موجب افزایش سختی در این منطقه می‌گردد. در حالی که در نواحی نزدیک به فلز پایه ۳۰۴L به علت نرخ سرد شدن کمتر و در نتیجه درشت شدن دانه ها روند کاهش سختی مشاهده می شود. بنابراین می توان گفت احتمالاً تفاوت کمی که در سختی مشاهده می شود به دلیل متفاوت بودن هدایت حرارتی دو فلز پایه است.

از سوی دیگر برای فلز جوش ۳۰۹LMo با توجه به شکل(۱۴)، نیز یک روند صعودی افزایش سختی از سمت فلز پایه ۳۰۴L به سمت فلز پایه ۳۲۷۵۰ برقرار است. با عبور از فلز جوش ۳۰۹LMo و رسیدن به منطقه متأثر از حرارت ۳۰۴L یک روند کاهش سختی مشاهده می شود. علت این کاهش سختی در منطقه متأثر از حرارت می تواند نرخ سرد شدن کمتر و در نتیجه درشت شدن دانه ها باشد. در آن طرف اتصال با گذر از فلز جوش ۳۰۹LMo و رسیدن به منطقه متأثر از حرارت سوپر دوفازی ۳۲۷۵۰ یک افزایش موضعی سختی مشاهده می شود، که علت این افزایش سختی در مقایسه با مناطق مجاور خود، مقدار فریت بیشتر در این منطقه می باشد که همین امر موجب سختی بالاتر آن می شود. اندازه گیری میزان فریت فلزجوش و منطقه متأثر از حرارت در دو سمت فلزات پایه توسط دستگاه فریتسکوپ صورت گرفت که نتایج آن در جدول (۶) ارائه شده است.

جدول (۶): تغییرات درصد فریت فلز جوش برای دو فلز پر کننده

فلز پر کننده	سمت ۳۰۴L	سمت ۳۲۷۵۰	فلز جوش
ER25104L	۳۵	۵۵	۶۵
ER309LMo	۲۵	۴۶	۶۰

#### ۴- نتیجه گیری

- در آزمون کشش، تمامی نمونه ها، از منطقه HAZ فلز پایه فولاد زنگ نزن آستینیتی ۳۰۴L شکسته شدند.

- and Weldability of Stainless Steels", John Wiley and Sons, New Jersey, 2005.
- [8] ASME Sec II, "Specification for Welding Rods, Electrodes and Filler Metals, Part C", American Society of Mechanical Engineers, Edition: 3<sup>th</sup>, 2004.
- [9] ANSI/AWS B4.0 "Standard Methods for Mechanical Testing of Welds", American Welding Society, Edition: 9th 2009.
- [10] ASME Sec IX, "Qualification Standard for Welding and Brazing Procedure", Article II, Welding Procedure Qualification, 2001.
- [11] T. Ogawa , E. Tsunetomi, "Hot Cracking Susceptibility of Austenitic Stainless Steels", Welding Journal, Vol.61, pp.82-93, 1982.
- [12] H. Shah Hosseini, M. Shamanian & A. Kermanpur, "Characterization of Microstructures and Mechanical Properties of Inconel 617/310 Stainless Steel Dissimilar Welds", Materials Characterization, Vol.62, pp. 425-431, 2011.
- [13] J. Labanowski, "Mechanical properties and corrosion resistance of dissimilar stainless steel welds", Archives of Materials Science and Engineering, Vol.28, pp.27-33, 2007.

## ۶- پی نوشت ها

- 1-Pitting Resistance Equivalent
- 2- Pitting Corrosion
- 3- Crevice Corrosion
- 4- Stress Corrosion Cracking
- 5- Liquation Cracking
- 6- Solidification Cracking
- 7- Heat Input
- 8- Charpy Impact Test
- 9- Delta Ferrite
- 10- Secondary Phase
- 11- Heat Affected Zone
- 12- Dimple

۲. بیشترین مقادیر سختی به علت میانگین فریت بالاتر مربوط به فلز پر کننده ۲۵۱۰۴L و کمترین مقادیر سختی به علت میانگین فریت پایین تر مربوط به فلز پر کننده ۳۰۹LMo می باشد.

۳. فلز پر کننده ER25104L به علت وجود فریت بیشتر در ریز ساختار فلز جوش، دارای بیشترین انرژی شکست ضربه بود.  
 ۴. از بین دو فلز پر کننده به کارگیری شده برای اتصال غیر مشابه فولاد آستینی ۳۰۴L به فولاد زنگ نزن سوپر دوفازی ۳۲۷۵، فلز پر کننده ۲۵۱۰۴L دارای بیشترین استحکام کششی بود.

۵. از دیدگاه خواص مکانیکی، جهت اتصال غیر مشابه سوپر دوفازی ۳۲۷۵ به فولاد زنگ نزن ۳۰۴L فلز پر کننده ۲۵۱۰۴L بالاترین خواص مکانیکی را بوجود می آورد.

## ۵- مراجع

- [1] M. Niset, R. Daemen & S. Soudometal, "Welding Duplex Stainless Steels", Materials & Design, Vol.5, pp. 291–293, 1984.
- [2] D.A. Jones, "Principle and Prevention of Corrosion", Prentice Hall, Upper Saddle River, 1995.
- [3] T.G. Gooch, "Corrosion behavior of welded stainless steel", Welding Journal, Vol. 75, pp.135-154, 1996.
- [4] L. Weber, P.J. Uggowitzer, "Partitioning of Chromium and Molybdenum in Super Duplex Stainless Steels with Respect to Nitrogen and Nickel Content", Materials Science and Engineering, 242, pp. 222–229, 1998.
- [5] PA. West Conshohocken, ASTM Standard Specification for Casting, Iron-Chromium-Nickel-Molybdenum Corrosion Resistant, Duplex for General Application, American Society for Testing and Materials, 1999.
- [6] ASM Handbook, "Properties and Selection: Irons, Steels, and High Performance Alloys", ASM International, Materials Park, Ohio, Vol.1, 2002.
- [7] J.C. Lippold, D. Koteki, "Welding Metallurgy